

مقاله تحقیقی

شناسایی جهش های پایدارکننده ساختار آنزیم لوسیفرز گونه ایرانی به وسیله روش های بیوانفورماتیک و شبیه سازی دینامیک مولکولی

علیرضا خندابی^۱، حسن صاحب جمعی^{۲*}، فهیمه باغبانی آرانی^۱

۱. گروه ژنتیک و بیوتکنولوژی، دانشکده علوم زیستی، واحد ورامین- پیشوا، دانشگاه آزاد اسلامی، ورامین، ایران
۲. گروه بیوفیزیک، دانشکده علوم زیستی، واحد ورامین- پیشوا، دانشگاه آزاد اسلامی، ورامین، ایران

*مسئول مکاتبات: sahebjam.has@iauvaramin.ac.ir

محل انجام تحقیق: گروه ژنتیک و بیوتکنولوژی، دانشکده علوم زیستی، واحد ورامین- پیشوا، دانشگاه آزاد اسلامی، ورامین، ایران

تاریخ پذیرش: ۱۴۰۰/۶/۱۸

تاریخ دریافت: ۱۴۰۰/۵/۱۵

چکیده

آنزیم لوسیفرز در واکنش بیولومینسانس (نشر نور توسط موجودات زنده) دخالت دارد. این آنزیم به عنوان گزارشگر ژنی در تصویربرداری *in vivo* کاربردهای فراوانی دارد. علی رغم کاربردهای فراوان و تشخیصی آنزیم لوسیفرز، چندین عامل هم چون پایداری پایین لوسیفرز نسبت به حرارت و K_m بالا برای سوسترای ATP استفاده از آن را محدود کرده است. با توجه به پایداری پایین آنزیم لوسیفرز مطالعه حاضر جهت ارزیابی تاثیر جهش های تک اسید آمینه بر پایداری آنزیم لوسیفرز گونه ایرانی لامفیریس ترکستانی کوس^۱ با استفاده از وب سرورهای بیوانفورماتیک و شبیه سازی دینامیک مولکولی صورت گرفت. برای این منظور ابتدا جهت تعیین پایداری، جهش ها با استفاده از وب سرورهای I-Mutant-2، Pop-music، Cupsat، MUpro، stable و ابزارهای Protparam و foldx تحت نرم افزار Yasara بررسی شد. وب سرورها و foldx پیش بینی کردند که دو جهش Q35L و H9M باعث پایداری ساختار می شوند. وب سرور Polyphen-2 هم پیشگویی کرد که این دو جهش در عملکرد آنزیم اثر مخرب ندارد. برای تایید بیش تر این دو جهش شبیه سازی دینامیک مولکولی انجام شد، که نتایج RMSD و RMSF و شعاع ژیراسیون و هیدروفوبیسیته هم نشان دادند که این جهش ها باعث پایداری این آنزیم می شود.

واژه های کلیدی: لوسیفرز، جهش، پایداری، دینامیک مولکولی.

^۱ *Lampyris turkestanicus*

مقدمه

بیولومینسانس از جالب‌ترین پدیده‌های زیستی در طبیعت بوده که گستردگی و تنوع فیلوژنتیکی زیادی دارد. بیولومینسانس یک واکنش آنزیمی است که با واسطه آنزیم لوسیفراز و سوبسترای لوسیفیرین انجام می‌پذیرد. آنزیم لوسیفراز گونه ایرانی لامفیریس ترکستانیکوس یک آنزیم تک زیر واحدی بوده و نشر نور سبز را از لوسیفیرین، در حضور اکسیژن، Mg^{2+} و ATP کاتالیز می‌کند (۱). این پروتئین، پلی‌پپتیدی با ۵۴۷ اسید آمینه با وزن مولکولی ۶۲ کیلو دالتون است که دارای یک دمین N-ترمینال بزرگ (۴۳۵-۱) و یک دمین C-ترمینال کوچک است (۴۴۰-۴۳۶) و توسط یک لوپ انعطاف‌پذیر (۴۴۰-۴۳۶) به یکدیگر متصل می‌شوند (۲).

از آنجایی که اندازه‌گیری‌ها بر اساس واکنش آنزیم لوسیفراز سریع، حساس و غیررادیوکتیو هستند، استفاده از این آنزیم کاربردهای گسترده‌ای در زمینه‌های مختلف زیست‌شناسی از جمله تشخیص ATP، تهیه کیت تشخیص سرطان و گزارش‌گرهای ژنتیکی داشته است (۳). با وجود کاربردهای متعدد، آنزیم لوسیفراز به‌خصوص در مطالعات *in vivo* به‌وسیله چند فاکتور محدود می‌شود. به‌طوری‌که آنزیم به‌سرعت و به‌صورت برگشت‌ناپذیر در دمای اتاق فعالیت خود را از دست می‌دهد که این ویژگی تقریباً بر تمام کاربردهای این آنزیم اثرات نامطلوبی دارد (۴). در هنگام استفاده از لوسیفراز در محیط *in vitro* می‌توان با اضافه نمودن پایدارکننده‌های آنزیمی از قبیل گلیسرول، سولفات آمونیوم و اسمولیت‌های دیگر بر مشکلات ناپایداری آنزیم غلبه کرد (۵). اما استفاده از روش‌های مهندسی پروتئین و ایجاد لوسیفراز جهش یافته با ویژگی‌های مطلوب، تنها راه حل مفید و اساسی برای غلبه بر این مشکل، به‌منظور کاربرد آن در محیط‌های *in vivo* به‌شمار می‌رود (۶). بر همین اساس در سال ۲۰۱۱، مرتضوی و همکاران با استفاده از تکنیک جهش‌زایی هدفمند نشان دادند که در گونه لوسیفراز ایرانی با جایگزینی تکی یا هم-زمان چندین رزیدوی آب‌گریز سطحی در موقعیت‌های ۱۸۲ و ۲۳۲ پایداری دمایی لوسیفرازهای جهش یافته افزایش یافته است (۷).

مطالعه شبیه‌سازی دینامیک مولکولی آنزیم‌ها یکی از روش‌های موثر و مفید در شناسایی خصوصیات ساختاری و عملکردی آنزیم‌ها می‌باشد. با استفاده از این روش می-

توان تاثیر جهش بر روی پایداری و عملکرد آنزیم‌ها را بررسی کرد. اطلاعات به‌دست آمده توسط این روش دید مناسبی نسبت به آنزیم مورد نظر برای طراحی و مهندسی پروتئین ایفا می‌کند (۸). از آنجایی‌که بررسی وقایع در سطح مولکولی به‌وسیله روش‌های آزمایشگاهی بسیار پیچیده، پرهزینه و زمان‌بر است بنابراین یک محقق با استفاده از روش‌های بیوانفورماتیک و دینامیک مولکولی توانایی طراحی هدفمند و سریع‌تر را به‌دست می‌آورد. با توجه به اهمیت پایداری آنزیم لوسیفراز، در تحقیق حاضر جهش‌های موثر ابتدا با استفاده از وب-سرورهای بیوانفورماتیک به‌دست آمد سپس تاثیر این جهش‌ها را با استفاده از روش شبیه‌سازی دینامیک مولکولی بررسی شد.

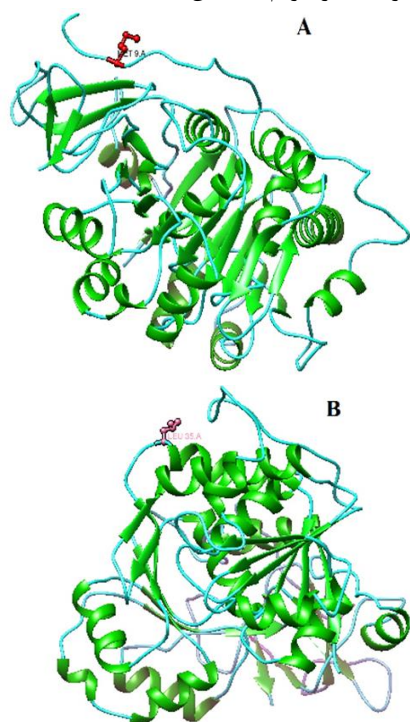
مواد و روش‌ها

با توجه به این‌که ساختار پروتئین لوسیفراز گونه ایرانی به‌روش کریستالوگرافی تعیین شده است، از ساختار تعیین شده این پروتئین از پایگاه PDB با کد 4M46 برای این تحقیق استفاده شد. جهش و بهینه‌سازی ساختار آنزیم با استفاده از برنامه کایمر^۲ و تنظیمات Steepest descent 1000 و Conjugated gradient=500 انجام شد. سپس ساختارهای جهش یافته و بهینه برای پیشگویی‌های پایداری در وب‌سرورها مورد استفاده قرار گرفتند.

از جمله روش‌های بسیار مهم جهت بررسی اثر یک جهش بر روی ساختار و عملکرد یک پروتئین، محاسبه مقدار انرژی آزاد پروتئین جهش یافته و مقایسه با انرژی آزاد پروتئین طبیعی است. این موضوع به‌روش‌های مختلف و با استفاده از وب‌سرورها و ابزارهای بیوانفورماتیک صورت می‌گیرد که از جمله این وب‌سرورها ی مهم شامل MUpro، istable، Cupsat، Pop-music، Mutant-2 (۹) و ۱۰) و ابزار foldx می‌باشد (۱۱). مقایسه پارامترهای فیزیکوشیمیایی پروتئین‌های طبیعی با جهش یافته به-وسیله ابزار ProtParam (۱۲) در وب‌سرور EXPASY انجام شد. وب‌سرور PolyPhen-2 تاثیر احتمالی جایگزینی یک آمینواسید بر روی میزان عملکرد پروتئین را با در نظر گرفتن ملاحظات تکاملی و ساختاری پروتئین بررسی می‌کند. Polyphen-2 جهش‌ها و جایگزینی‌ها را بر اساس

^۲ Chimera

به متیونین) از بین تمام جهش‌های پیشگویی شده در تمام وب‌سرورها نشان داد که باعث پایداری می‌شوند بدین‌صورت که نتایج وب‌سرور PopMusic برای جهش‌های Q35L و H9M به ترتیب برابر $\Delta\Delta G = -0.06$ و $G = -0.07$ به دست آمد بر طبق راهنمای این وب‌سرور نتایج $\Delta\Delta G$ کوچک‌تر از صفر بدین معنا است که آن جهش باعث پایداری شده است. نتایج foldx برای پروتئین طبیعی $\Delta\Delta G = 66.46$ kcal/mol و برای جهش Q35L برابر با $\Delta\Delta G = 62.35$ kcal/mol و برای جهش H9M برابر با $\Delta\Delta G = 63.76$ kcal/mol به دست آمد. نتیجه وب‌سرور Cupsat برای جهش Q35L و H9M افزایش پایداری و از لحاظ زاویه‌ای^۴ مناسب ارزیابی شد. نتایج وب‌سرورهای I-Mupro، Mutant2، istable برای جهش‌های Q35L و H9M بیانگر افزایش پایداری آنزیم می‌باشد. جهش‌هایی که در آن مقدار $\Delta\Delta G$ بیش‌تری کاهش یافته، بیانگر این است که جهش مربوطه اثر احتمالی بیش‌تری بر روی پایداری ساختار پروتئین دارد. در شکل ۱ محل جهش‌ها در ساختار آنزیم مشخص شده است.



شکل ۱- موقعیت اسیدهای آمینه جهش یافته در ساختار پروتئین (H9M:A, Q35L:B).

شاخص عددی تحت عنوان " شماره مستقل مخصوص مکان " PSIC به سه فرم Benign، Probably damaging و Possibly damaging تقسیم می‌کند. این شاخص عددی دارای عددهای مختلف بین ۰ و ۱ است به طوری که هر چه عدد به یک نزدیک‌تر باشد، جهش مخرب‌تر است (شکل‌های ۶ و ۷). این ابزار جهش‌ها را به عنوان "بی‌خطر"، "مخرب" یا "احتمالاً مخرب" طبقه‌بندی می‌کند (۱۳).

در این تحقیق تمام محاسبات مربوط به شبیه‌سازی دینامیک مولکولی با استفاده از نرم‌افزار GROMACS نسخه ۵.۴.۱ تحت سیستم عامل لینوکس اوبنتو انجام شد (۱۴). شبیه‌سازی‌ها با در نظر گرفتن مولکول‌های حلال در جعبه مکعبی شکل با ۲۵۰۳ مولکول آب انجام شد. فاصله از کنار جعبه مکعبی شکل یک نانومتر تنظیم شد. برای خنثی کردن بار سطحی مولکول و نزدیک شدن به شرایط طبیعی، سه یون کلر به جای مولکول‌های آب به سیستم اضافه گردید. در این شبیه‌سازی از مدل میدان نیرو AMBER03 و مولکول در محیط آبی با مدل TIP3P استفاده شد. سپس انرژی ساختارها به وسیله الگوریتم Steepest Descent در ۱۰۰۰ steps کمینه‌سازی انرژی انجام شد (۱۵). در حالت تعادل هنگرد NVT با ثابت دمایی 310K برای ۵۰۰ps و هنگرد NPT با ثابت فشار ۱bar در ۵۰۰ps به کار برده شد. برای کوپلینگ دما و فشار الگوریتم‌های Berendsen (۱۶) و Parrinello-Rahman (۱۷) اعمال شد و فرایند محدودیت مکانی در مراحل هنگردهای NVT و NPT به کار برده شد. زمان شبیه‌سازی ۶۰ نانوثانیه و گام‌ها ۲ پیکوثانیه در نظر گرفته شد. برای آنالیز نتایج شبیه‌سازی دینامیک مولکولی از نرم‌افزارهای XMGRACE و VMD استفاده شد. نتایج شبیه‌سازی دینامیک مولکولی به صورت ریشه میانگین مجذور انحراف‌ها (RMSD)، ریشه میانگین مجذور نوسانات (RMSF)، شعاع ژیراسیون (R_{gyr})، سطح در دسترس حلال (SASA) و DSSP^۴ مورد بررسی قرار گرفت.

نتایج

دو جهش Q35L (تبدیل اسید آمینه گلوتامین ۳۵ به اسید آمینه لوسین) و H9M (تبدیل اسید آمینه هیستیدین

^۴ torsion

^۴ Definition of Secondary structure of proteins

همچنین در اسیدآمینه‌های ۳۶۰ تا ۳۸۰ میزان نوسانات پروتئین‌های جهش یافته کم‌تر شده است. برطبق شکل ۴ شعاع ژیراسیون در پروتئین‌های جهش یافته کم‌تر از پروتئین طبیعی شده است. میانگین شعاع ژیراسیون در ۳۰ نانوثانیه آخر شبیه سازی در جدول ۲ قرار داده شده است.

جدول ۲- میانگین شعاع ژیراسیون.

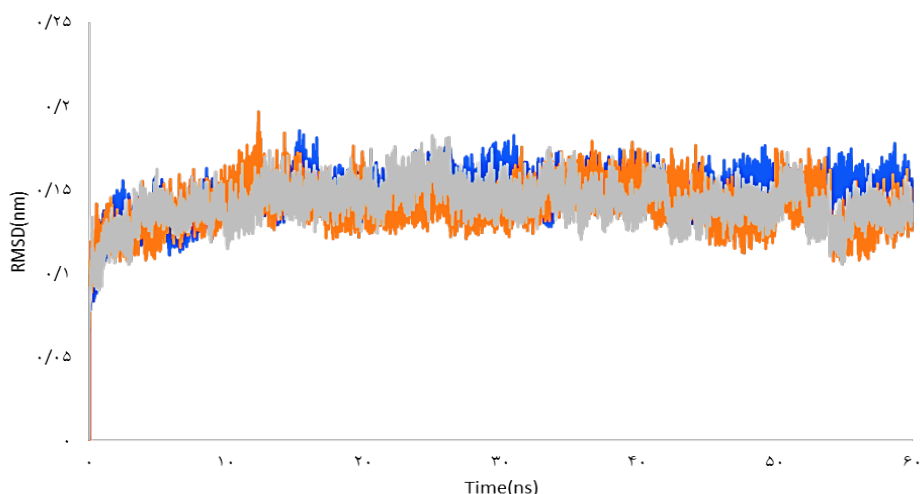
Enzymes	Wild type	Q35L	H9M
Average of R_{gvr}	1.813	1.715	1.766

میانگین RMSD در ۳۰ نانوثانیه آخر شبیه‌سازی برای پروتئین طبیعی و موتانت‌ها در جدول زیر آورده شده است (جدول ۱).

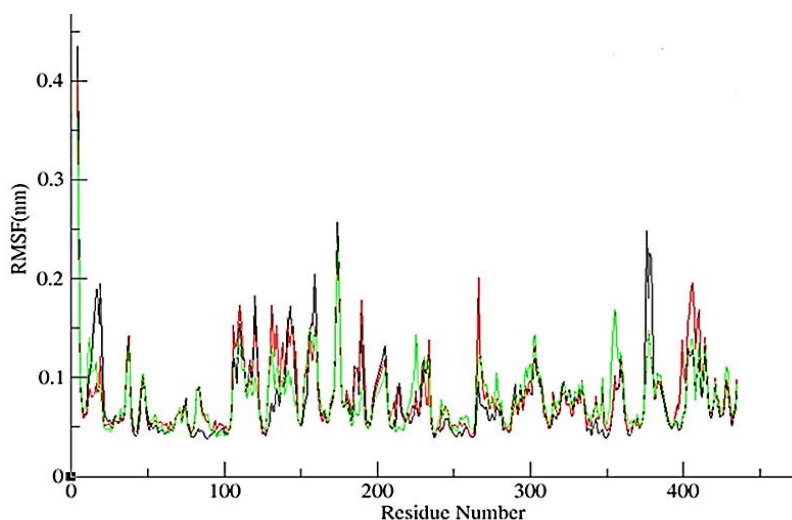
جدول ۱- میانگین RMSD

Enzymes	Wild type	Q35L	H9M
Average of RMSD	0.151	0.141	0.141

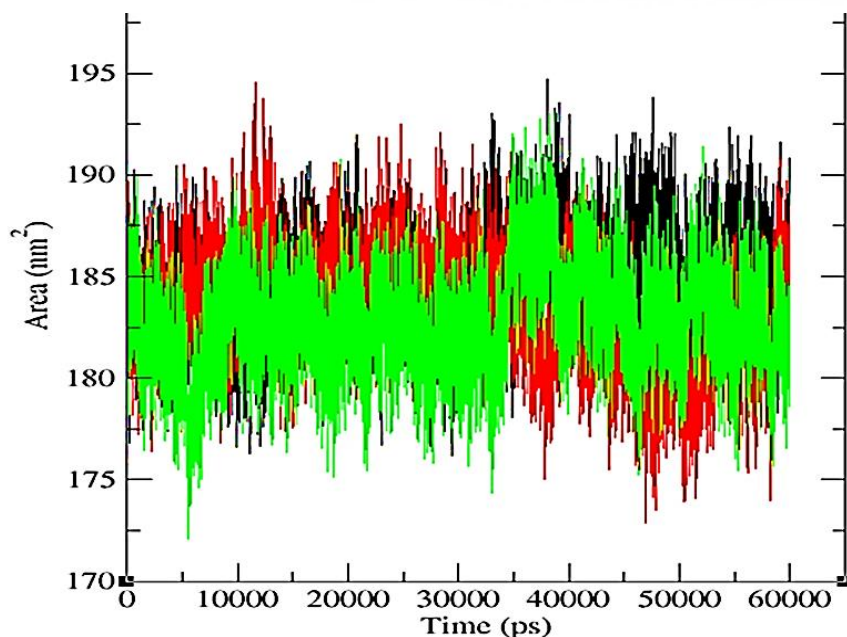
شکل ۳ نتایج RMSF برای هر رزیدیو در آنزیم را نشان می‌دهد. تحت تاثیر جهش‌های Q35L و H9M میزان RMSF یا نوسانات در اسیدآمینه‌های ۹ تا ۲۰ به‌طور قابل ملاحظه‌ای نسبت به پروتئین طبیعی کاهش یافته است.



شکل ۲- ریشه میانگین انحراف کربن آلفا در آنزیم لوسیفراز در پروتئین طبیعی (خط آبی)، جهش Q35L (خط نارنجی) و جهش H9M (خط طوسی).



شکل ۳- ریشه میانگین نوسانات کربن آلفا آنزیم لوسیفراز در پروتئین طبیعی (خط مشکی)، جهش Q35L (خط قرمز) و جهش H9M (خط سبز).



شکل ۵ - سطح در دسترس حلال آنزیم لوسیفراز در مدت ۶۰ نانوثانیه پروتئین طبیعی (خط مشکی)، جهش Q35L (خط قرمز) و جهش H9M (خط آبی).

طبق نتایج وب سرور polyphen-2 (شکل های ۶ و ۷) جهش های Q35L و H9M بی خطر پیشگویی شده است. از پارامتر DSSP برای تعیین محتوای ساختار دوم پروتئین به عنوان تابعی از زمان استفاده می شود. این آنالیز ساختار دوم را برای هر رزیدو در هر گام زمانی تعیین می کند و امکان تجسم بهتری از داده ها را فراهم می آورد. شکل ۸ داده های DSSP پروتئین طبیعی و پروتئین های جهش یافته را نشان می دهد. در پروتئین های جهش یافته در رزیدوی ۲ تا ۴ در ۱۰ ns آخر زمان شبیه سازی تبدیل کوپل به پیچ مشاهده می شود. در رزیدوی ۱۸ تا ۲۰ در ۱۰ ns آخر زمان شبیه سازی تبدیل کوپل به حالت خم مشاهده می شود. در بقیه نواحی تفاوت چندانی بین پروتئین طبیعی و جهش یافته مشاهده نمی شود.

بر طبق شکل ۵ و جدول ۳ سطح در دسترس حلال پروتئین های جهش یافته به مقدار کمی کاهش یافته است. میانگین سطح در دسترس حلال در ۳۰ نانوثانیه آخر شبیه سازی در جدول زیر قرار داده شده است.

جدول ۳- میانگین سطح در دسترس حلال

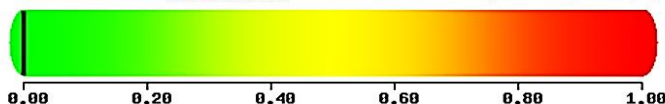
Enzymes	Wild type	Q35L	H9M
Average of SASA	185.74nm	182.19nm	183.33nm

نتایج هیدروفوبیسیته ابزار ProtParam در جدول ۴ قرار داده شده است.

جدول ۴- مقدار هیدروفوبیسیته

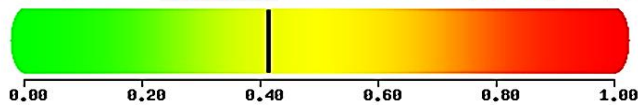
Enzymes	Wild type	Q35L	H9M
Average of Hydrophobicity	-0.117	-0.105	-0.108

This mutation is predicted to be **BENIGN** with a score of 0.001 (sensitivity: 0.99; specificity: 0.15)

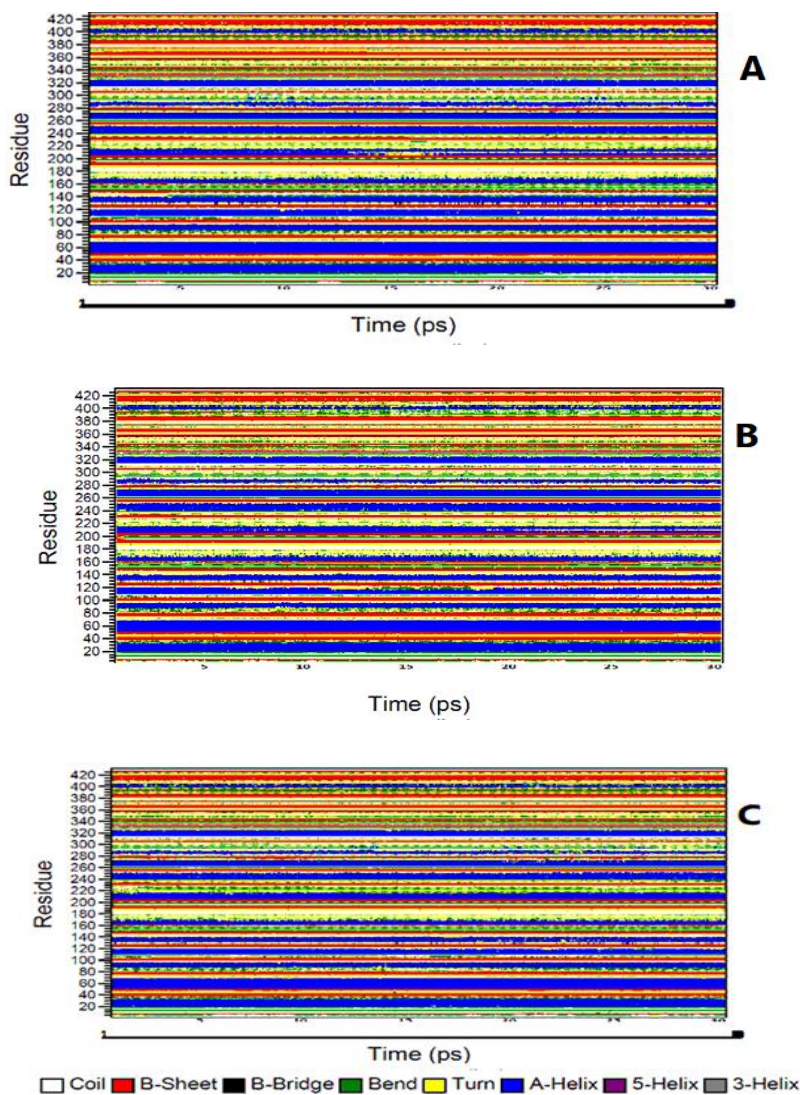


شکل ۶- پیشگویی وب سرور polyphen-2 برای جهش Q35L.

This mutation is predicted to be **BENIGN** with a score of **0.413** (sensitivity: **0.89**; specificity: **0.90**)



شکل ۷- پیشگویی وب سرور polyphen-2 برای جهش H9M.



شکل ۸- نمایش DSSP (تغییرات ساختار دوم) پروتئین طبیعی (A)، جهش Q35L (B) و جهش H9M (C).

بحث

ژنتیک به داخل سیستم‌های زنده برای اهداف بیولوژیک خاص منتقل کرد (۱۸). هزینه کم، حساسیت زیاد، سادگی و غیر تهاجمی بودن از جمله مزایای بیولومینسانس نسبت به تکنیک‌های دیگر مثل فلئورسانس است. با توجه به پایداری اندک آنزیم لوسیفراز در دمای فیزیولوژیک بدن

امروزه در حوزه علوم زیستی، از بیولومینسانس برای شناسایی و مشاهده فرایندهای بیولوژیکی می‌توان استفاده کرد. هم‌چنین می‌توان ژن لوسیفراز را از طریق مهندسی

ای داشته است. در بقیه رزیدوها تفاوت چندانی بین سیستم طبیعی و جهش یافته وجود ندارد. پارامتر SASA در واقع ناحیه سطح بیومولکول است که در دسترس حلال قرار دارد. میزان SASA در ۳۰ نانوثانیه پایانی سیستم جهش یافته مقداری کم تر از سیستم طبیعی است. بر طبق نتایج DSSP به طور کلی می توان گفت که جهش ها تغییرات ساختار دوم چندانی ایجاد نمی کنند. شعاع ژیراسیون میزان فشردگی پروتئین را محاسبه می کند. شعاع ژیراسیون مربوط به پروتئین های جهش یافته میزان کمتری از سیستم طبیعی دارد و در محدوده ۱۸۲ تا ۱۸۳ نانومتر قرار می گیرد. این کم تر شدن شعاع ژیراسیون در پروتئین های جهش یافته بیانگر این است که ساختار مولکول کمی فشرده تر شده است. لوسین و متیونین آمینواسیدهای غیرقطبی هستند در صورتی که آمینواسیدهای گلوتامین قطبی بدون بار و هیستیدین قطبی باردار هستند جهش اسیدآمینه های قطبی به غیرقطبی احتمالاً میکانش های هیدروفوبیک پروتئین را بیش تر کرده و باعث پایداری بیش تر ساختار شده است. در کل به نظر می رسد جهش های اسیدآمینه گلوتامین به لوسین در موقعیت ۳۵ و اسیدآمینه هیستیدین به متیونین در موقعیت ۹ ساختار آنزیم باعث افزایش پایداری پروتئین، کاهش انعطاف پذیری رزیدوها در بعضی مناطق و افزایش هیدروفوبیسیته آنزیم لوسیفرز می شود. بنابراین با توجه به نتایج ذکر شده به نظر می رسد انتقال رزیدوی هیدروفوب به نواحی داخلی تر باعث فشردگی بیش تر ساختار پروتئین شده و ساختار پروتئین را پایدارتر می کند.

تقدیر و تشکر

نتایج مستخرج از پایان نامه کارشناسی ارشد دانشگاه آزاد اسلامی واحد ورامین - پیشوا می باشد.

و این که هیچ نمونه گرمادوستی از آنزیم لوسیفرز وجود ندارد، تنها راه حل مفید و اساسی برای افزایش پایداری لوسیفرز به منظور کاربرد آن در محیط های *in vivo* طراحی لوسیفرزهای جهش یافته با ویژگی های مطلوب با استفاده از روش های مهندسی پروتئین است (۱۹ و ۲۰). پایداری دمایی لوسیفرز گونه ایرانی لامفیریس ترکستانیکوس به وسیله جایگزینی هم زمان چندین رزیدوی در موقعیت های ۲۵، ۱۸۲ و ۲۳۲ بررسی شده و نشان داده شده که منجر به پایداری دمایی لوسیفرزهای جهش یافته می شود. افزایش میانکنش های یونی بین مولکول های پروتئین و حلال قطبی به عنوان تفسیر و توضیحی برای این نتایج ارائه شده است (۷). در این تحقیق، با توجه به اهمیت پایداری آنزیم لوسیفرز و اهمیت بررسی پس از مشخص کردن اثر جهش ها از ساختار کریستالی لوسیفرز وحشی با کد بانک اطلاعاتی پروتئین (PDB code) 4M46 به عنوان الگو برای مدل سازی هر یک از جهش یافته ها استفاده شد. نتایج وب سرورهای I-Mutant، Pop-music، Cupstat، istable، MUpro، و foldx تحت نرم افزار Yasara نشان داد که جهش های Q35L و H9M انرژی منفی تری نسبت به سیستم طبیعی دارند و این بدین معناست که نسبت به سیستم طبیعی پایدارترند. نتایج وب سرور ProtParam هم نشان داد که جهش ها باعث افزایش هیدروفوبیسیته می شوند. دقت ابزارها و وب سرورهای پیشگویی بین ۵۰ تا ۸۰ درصد است سپس برای تایید نتایج این دو جهش شبیه سازی دینامیک مولکولی صورت گرفت. نتایج شبیه سازی دینامیک مولکولی نشان داد که جهش های Q35L و H9M نسبت به پروتئین طبیعی مقدار RMSD در ۳۰ نانوثانیه انتهای شبیه سازی کاهش یافته است یعنی جهش ها پایداری آنزیم را افزایش داده است. در جهش H9M میزان RMSF کاهش شدیدی در رزیدوهای اطراف این جهش دارد. در جهش Q35L میزان RMSF در رزیدوهای ۳۶۰ تا ۳۸۰ کاهش قابل ملاحظه -

منابع مورد استفاده

1. Mortazavi, M., Hosseinkhani, S., Khajeh, K., Ranjbar, B., Emamzadeh, A.R., 2008. Spectroscopic and functional characterization of lampyris turkestanicus luciferase: A comparative study. Acta Biochim Biophys Sin [Shanghai]. 40(5):365-374.
2. Ganjalikhany, M.R., Ranjbar, B., Hosseinkhani, S., Khalifeh, K., Hassani, L., 2010. Roles of trehalose and magnesium sulfate on structural and functional stability of firefly luciferase. J Mol Catal B Enzym. 62(2):127-132.

3. Lundin, A., 2000. Use of firefly luciferase in ATP-related assays of biomass, enzymes and metabolites. *Method Enzymol* 305:346-370.
4. Solgi, Z., Khalifeh, Kh., Hosseinkhani, S., Ranjbar, B., 2018. Comparison of Thermodynamic Stability and Kinetic Refolding of *Lampyris turkestanicus* and Some of Its Mutants. *Modares Journal of Biotechnology* 9(3):417-425.
5. Mehrabi, M., Hosseinkhani, S., Ghobadi, S., 2008. Stabilization of firefly luciferase against thermal stress by osmolytes. *Int J Biol Macromol* 43(2):187-191.
6. Maghami, P., Ranjbar, B., Hosseinkhani, S., Ghasemi, A., Moradi, A., Gill, P., 2010. Relationship between stability and bioluminescence color of firefly luciferase. *Photochem Photobiol Sci* 9(3):376-383.
7. Mortazavi, M., Hosseinkhani, S., 2011. Design of thermostable luciferases through arginine saturation in solvent exposed loops. *Protein Eng Des Sel* 24(12):893-903.
8. Hildebrand, P.W., Rose, A.S., Tiemann, J.K., 2019. Bringing molecular dynamics simulation data into view. *Trends in Biochemical Sciences* 44(11):902-913.
9. Kamaraj, B., Rituraj, P., 2013. *In Silico* Screening and molecular dynamics simulation of disease-associated nsSNP in TYRP1 gene and its structural consequences in OCA3. Hindawi Publishing Corporation BioMed Research International, ID 697051.
10. Bromberg, Y.R., 2007. SNAP: predict effect of non-synonymous polymorphisms on function. *Nucleic Acids Res* 35: 3823-3835. PMID: 17526529.
11. Bub, O., Rudat, J., Ochsenreither, K., 2018. FoldX as protein engineering tool: better than random based approaches? *Computational and Structural Biotechnology Journal* 16: 25-23.
12. Garg, V.K., Avashthi, H., Tiwari, A., Jain, P.A., Ramkete, P.W., Kayastha, A.M., Singh, V.K., 2016. MFPPPI- multi FASTA protparam interface. *Bioinformation* 12(2): 74-77.
13. Ng, P.C., Henikoff, S., 2006. Predicting the effects of amino acid substitutions on protein function. *AnnuRev Genomics Hum Genet* 7:61-80.
14. Lindahl, E., Hess, B., van der Spoel, D., 2001. GROMACS: a package for molecular simulation and trajectory analysis. *Molecular modeling annual* 7: 306-317.
15. Li, Z., Wei, X., Zhao, Q., 2019. Scaled alternating steepest descent applied for protein structure determination from nuclear magnetic resonance data. *J Comput Biol* 26(9): 1020-1029.
16. Margaf, J.T., Hennemann, M., Clark, T., 2020. EMPIRE: A highly parallel semiempirical molecular orbital program: 2: Born-Oppenheimer molecular dynamics. *Journal of Molecular Modeling* 26(3): 43.
17. Miller, R.E., Tadmor, E.B., Gibson, J.S., Bernstein, N., Pavia, F., 2016. Molecular dynamics at constant Cauchy stress. *J Chem Phys* 144(18): 184107.
18. Mortazavi, M., Hosseinkhani, S., Torkzadeh-Mahani, M., Lotfi, S., Emamzadeh, R., 2020. Molecular docking and bioinformatics study of rare codons in the *Lampyroidea maculate* luciferase gene. *Modares Journal of Biotechnology* 11(2): 145-154.
19. DeLuca, M., McElroy, W.D., 1974. Kinetics of the firefly luciferase catalyzed reactions. *Biochemistry* 13(5): 921-925.
20. Zhou, X.X., Wang, Y.B., Pan, Y.J., Li, W.F., 2008. Differences in amino acids composition and coupling patterns between mesophilic and thermophilic proteins. *Amino Acids* 34(1): 25-33.